

# ВЛИЯНИЕ ДЕФЕКТОВ НА КИНЕТИКУ ФАЗОВОГО ПРЕВРАЩЕНИЯ ОДНОМЕРНОЙ СИСТЕМЫ: МОДИФИЦИРОВАННАЯ ТЕОРИЯ КОЛМОГорова – МЕЛА – ДЖОНСОНА

*Б. В. Петухов\**

*Институт кристаллографии им. А. В. Шубникова Российской академии наук  
119333, Москва, Россия*

Поступила в редакцию 2 октября 2011 г.

Статистическая теория кристаллизации Колмогорова – Мела – Джонсона обобщается с учетом влияния препятствий, создающих задержки для распространения границ новой фазы, применительно к одномерным системам. Выводится уравнение, описывающее кинетику процесса, с помощью которого рассчитывается зависимость от времени доли превращенного вещества. Изучается модификация кинетики с изменением плотности препятствий и длительности создаваемых ими времен задержек. Теория применима к протяженным контактам больших интегральных схем, биологическим макромолекулам и многим другим системам.

## 1. ВВЕДЕНИЕ

Статистическая теория кристаллизации Колмогорова – Мела – Джонсона [1, 2], первоначально предложенная для объемных металлов, впоследствии получила широкое применение для описания кинетики превращения систем различной природы и пространственной размерности (см. обзор [3]). В ней рассматривается случайное в пространстве и времени образование зародышей новой фазы с последующим распространением их границ и слиянием соседних зародышей или, говоря иначе, доменов. В настоящей работе будут рассматриваться одномерные системы. Важным примером такого превращения является репликация молекул ДНК [4]. В технологии производства больших интегральных схем в некоторых случаях необходимым этапом является перевод осажденной в линейной геометрии высокорезистивной фазы  $\text{TiSi}_2$  C49 в низкорезистивную фазу C54 [5]. Кинетика перехода между аморфной и кристаллической фазами играет роль при записи и считывании информации в оптических и электрических системах хранения данных [6]. Другими примерами являются переключение состояний магнитных цепочек [7], уход дислокации из долины потенциального

рельефа кристаллической решетки [8], релаксация полимеров [9], последовательная адсорбция атомов на подложках и другие [10]. Для сохранения единства описания все эти случаи будут трактоваться как «фазовые переходы» с обобщенным пониманием «фаз».

В реальных системах кинетика превращения нередко оказывается более медленной, чем предсказывается теорией Колмогорова – Мела – Джонсона. Естественно предположить, что на движение границ новой фазы могут оказывать влияние дефекты строения, преодоление которых требует дополнительного времени и создает задержки движения. Это обстоятельство может существенно модифицировать кинетику протекания процесса в целом и требует соответствующего развития теории. Влияние большой плотности хаотически распределенных относительно слабых дефектов, когда создаваемый ими потенциал может быть моделирован гауссовским случайным полем, изучалось в работе [11]. Влияние вносимых дефектами задержек предельно большой длительности на процесс репликации молекул ДНК изучалось в работе [12] в рамках приближения самосогласованного поля. В настоящей работе будет дано более полное исследование модели Колмогорова – Мела – Джонсона, дополненной учетом влияния случайно расположенных центров задержек произ-

\*E-mail: petukhov@ns.crys.ras.ru

вольной длительности для движения границ новой фазы, и общее решение будет проиллюстрировано наглядными частными случаями.

Простейший подход к решению проблемы заключается в перенормировке скорости границ добавлением к времени движения между дефектами времени задержки на дефектах. Однако такой подход имеет ограниченную применимость и справедлив лишь в случае, когда длина пробега границ до слияния соседних доменов велика по сравнению со средним расстоянием между дефектами, а разброс времен задержек на дефектах невелик. В общем случае на протекание процесса существенное влияние оказывают флуктуации пространственного распределения дефектов и распределения длительности задержек на них, так что расчет кинетики требует более полного статистического описания, развитие которого и является целью настоящей работы.

## 2. МОДЕЛЬ КОЛМОГОРОВА – МЕЛА – ДЖОНСОНА

В теорию Колмогорова – Мела – Джонсона, относящуюся к чистым одномерным материалам, закладываются два параметра: частота независимого рождения зародышей новой фазы в единицу времени на единицу длины системы  $J$  и скорость движения границы новой фазы  $v$ . В наиболее простом, но легко обобщаемом случае, скорости расширения зародышей в любую сторону считаются одинаковыми. В настоящей работе  $J$  и  $v$  принимаются постоянными. Первоначальным размером зародышей пренебрегается и доля  $P(t)$  превращенного за время  $t$  вещества вычисляется как вероятность какой-либо произвольно выбранной точке быть пройденной границей домена, подошедшей в течение времени  $t$  либо с одной стороны, либо с другой. В подходе Колмогорова [1] чрезвычайно просто решается статистическая проблема описания слияния случайно рождающихся в пространстве и времени зародышей. Вкратце воспроизведем это решение. Обозначим вероятность рассматриваемой точке не быть захваченной доменом новой фазы с какой-либо одной стороны ко времени  $t$  как  $Q_0(t)$ . По Колмогорову [1],  $Q_0(t)$  вычисляется как вероятность не возникнуть зародышу на расстоянии меньшем длины пробега за время  $t$ , т. е.  $vt$ . Если вероятность образоваться зародышу в малом интервале времени  $\Delta t_i$  на длине  $l(t_i) (= vt_i)$  есть  $Jl(t_i)\Delta t_i$ , а вероятность не образоваться, соответственно, есть  $1 - Jl(t_i)\Delta t_i$ , то вероятность не воз-

никнуть зародышу в течение промежутка времени  $t = \sum_i \Delta t_i$  равна произведению

$$\begin{aligned} Q_0(t) &= \prod_i [1 - Jl(t_i)\Delta t_i] \approx \\ &\approx \exp \left[ -J \sum_i l(t_i)\Delta t_i \right] \approx \exp \left[ -J \int_0^t l(t') dt' \right] = \\ &= \exp \left[ -J \int_0^t vt' dt' \right] = \exp \left( -\frac{Jvt^2}{2} \right). \end{aligned} \quad (1)$$

Вероятность точке не быть захваченной ни с той, ни с другой стороны есть

$$Q_0^2(t) = \exp(-Jvt^2), \quad (2)$$

а доля превращенного ко времени  $t$  вещества равна, следовательно,

$$P_0(t) = 1 - Q_0^2(t) = 1 - \exp(-Jvt^2). \quad (3)$$

С помощью этой формулы рассчитывается среднее время превращения

$$t_{av} = \int_0^\infty t \frac{dP}{dt} dt = \int_0^\infty Q_0^2(t) dt = \frac{1}{2} \sqrt{\frac{\pi}{Jv}}. \quad (4)$$

В дальнейшем понадобится также вероятность  $q(t, l)$  того, что рассматриваемая точка не будет захвачена новой фазой за счет образования зародыша на прилегающем с какой-либо стороны сегменте длиной  $l$  меньшей длины пробега  $vt$ . Простое обобщение приведенных выше рассуждений дает выражение

$$q(t, l) = \exp \left( -Jtl + \frac{J}{2v} l^2 \right), \quad l < vt. \quad (5)$$

Характерной чертой результата теории Колмогорова – Мела – Джонсона является резкое убывание со временем доли исходной фазы, описываемое второй степенью в показателе экспоненты (2). Это связано с заложенным в модель достаточно быстрым детерминистическим расширением зародышей с постоянной скоростью. Для некоторых материалов это предположение не выполняется.

## 3. ВЛИЯНИЕ НА КИНЕТИКУ ПРЕВРАЩЕНИЯ СЛУЧАЙНО РАСПОЛОЖЕННЫХ ДЕФЕКТОВ

При наличии дефектов, каждый из которых создает задержку движения фазовой границы, расчет следует видоизменить. Будем предполагать распределение дефектов в пространстве хаотическим

со средней плотностью  $n$ , а создаваемую ими задержку имеющей случайную длительность со средним значением  $\tau$ . Вычислим одностороннюю вероятность  $Q(t)$  какой-либо точке не быть захваченной новой фазой (для определенности, справа) ко времени  $t$ . Обозначим как  $P_1(t) = 1 - Q(t)$  дополнительную к  $Q(t)$  вероятность рассматриваемой точке быть захваченной за счет рождения зародышей с какой-либо одной стороны. Пусть первый дефект находится справа от рассматриваемой точки на расстоянии  $l$ . Тогда при  $l > vt$  дефект не оказывает влияния и вероятность не быть захваченной такая же, как в бездефектном случае, т. е.  $\exp(-Jvt^2/2)$ . Вероятность отсутствия дефектов в интервале  $vt$  есть  $\exp(-nvt)$ .

Если первый дефект ближе, чем  $vt$ , то следует учесть возможность того, что граница, подошедшая к дефекту в момент времени  $t'$ , может задержаться на нем на время большее  $t - l/v - t'$  и в результате не успеть пройти начало координат к моменту  $t$ . Обозначим вероятность задержки на дефекте большей  $t$  как  $f(t)$ . Рассчитаем вероятность того, что граница не окажется слева от дефекта ко времени  $t_l = t - l/v$ . Обозначим ее  $Q_-(t_l)$ . Она равна сумме вероятности границе не подойти к дефекту ко времени  $t_l$ , т. е.  $Q(t_l)$ , и вероятности, подойдя в интервале времени  $dt'$ , равной  $dP_1(t')$ , не преодолеть дефект за время  $t - t'$  для всех  $t'$  в интервале  $(0, t_l)$ :

$$\begin{aligned} Q_-(t_l) &= Q(t_l) + \int_0^{P_1(t_l)} f(t_l - t') dP_1(t') = \\ &= Q(t_l) - \int_1^{Q(t_l)} f(t_l - t') dQ(t') = \\ &= f(t_l) + \int_0^t \frac{df(t_l - t')}{dt'} Q(t') dt'. \end{aligned} \quad (6)$$

Учитывая весь спектр возможных положений первого препятствия, получаем следующее уравнение для  $Q(t)$ :

$$\begin{aligned} Q(t) &= \exp\left(-nvt - \frac{Jvt^2}{2}\right) + \int_0^{vt} n dl \times \\ &\times \exp(-nl)q(t, l)Q_-\left(t - \frac{l}{v}\right) = \exp\left(-nvt - \frac{Jvt^2}{2}\right) + \end{aligned}$$

$$\begin{aligned} + \int_0^{vt} n dl \exp(-nl)q(t, l) \left\{ f\left(t - \frac{l}{v}\right) + \right. \\ \left. + \int_0^{t-l/v} dt' \frac{df(t-l/v-t')}{dt'} Q(t') \right\}. \end{aligned} \quad (7)$$

Переходя в интеграле к переменной  $t'' = t - l/v$ , получаем другую форму уравнения:

$$\begin{aligned} Q(t) &= \exp\left(-nvt - \frac{Jvt^2}{2}\right) \left\{ 1 + nv \int_0^t dt'' \times \right. \\ &\times \left. \exp\left(nvt'' + \frac{Jvt''^2}{2}\right) Q_-(t'') \right\}. \end{aligned} \quad (8)$$

Переносим экспоненту  $\exp(-nvt - Jvt^2/2)$  в левую сторону уравнения (8) и дифференцируя обе стороны, приходим к

$$\begin{aligned} \frac{dQ(t)}{dt} + (nv + Jvt)Q(t) &= nvQ_-(t) = \\ &= nv \left\{ f(t) + \int_0^t \frac{df(t-t')}{dt'} Q(t') dt' \right\}. \end{aligned} \quad (9)$$

В дальнейшем будет рассматриваться случайная однородная во времени вероятность преодоления препятствий со средней частотой  $1/\tau$ . В такой ситуации, отвечающей, например, термоактивируемой кинетике преодоления препятствий, вероятность того, что время задержки превысит  $t$ , есть  $f(t) = \exp(-t/\tau)$ . Уравнение (9) примет при этом вид

$$\begin{aligned} \frac{dQ(t)}{dt} + (nv + Jvt)Q(t) &= nv \exp\left(-\frac{t}{\tau}\right) \times \\ &\times \left\{ 1 + \int_0^t \exp\left(\frac{t'}{\tau}\right) Q(t') \frac{dt'}{\tau} \right\}. \end{aligned} \quad (10)$$

Переносим экспоненту  $\exp(-t/\tau)$  в левую сторону уравнения и дифференцируя обе стороны, приходим к дифференциальному уравнению

$$\begin{aligned} \frac{d^2Q(t)}{dt^2} + \left(nv + \frac{1}{\tau} + Jvt\right) \frac{dQ(t)}{dt} + \\ + Jv \left(1 + \frac{t}{\tau}\right) Q(t) = 0. \end{aligned} \quad (11)$$

Начальным условием для  $Q(t)$  является  $Q(t)|_{t=0} = 1$ . Кроме того, так как  $Q_-(t)|_{t=0} = 1$ , из (9) следует  $dQ(t)/dt|_{t=0} = 0$ .

Решение уравнения (11) можно выразить через специальные функции. Будем измерять время в единицах  $t_0 = 1/(Jv)^{1/2}$  и введем безразмерные параметры  $n(v/J)^{1/2} = n'$ ,  $\tau/t_0 = \tau'$ . Уравнение примет вид

$$\frac{d^2 Q(t)}{dt^2} + \left( n' + \frac{1}{\tau'} + t \right) \frac{dQ(t)}{dt} + \left( 1 + \frac{t}{\tau'} \right) Q(t) = 0. \quad (11')$$

Сделаем замену  $Q(t) = \exp(-t/\tau)Q_1(t')$ ,  $t' = t + n' - 1/\tau'$ . Для  $Q_1(t')$  получаем уравнение

$$\frac{d^2 Q_1(t')}{dt'^2} + t' \frac{dQ_1(t')}{dt'} + \left( 1 - \frac{n'}{\tau'} \right) Q_1(t') = 0. \quad (12)$$

Еще одна замена  $Q_1(t') = \exp(-t'^2/4)y(t')$  приводит к уравнению для функций параболического цилиндра, например (19.1.2) из [13]

$$\frac{d^2 y(t')}{dt'^2} - \left( \nu - \frac{1}{2} + \frac{t'^2}{4} \right) y(t') = 0, \quad \nu = \frac{n'}{\tau_0}. \quad (13)$$

В качестве стандартных решений берутся

$$U \left( \nu - \frac{1}{2}, t' \right) = D_{-\nu}(t') = \cos \left( \frac{\pi\nu}{2} \right) Y_1 - \sin \left( \frac{\pi\nu}{2} \right) Y_2, \quad (14)$$

$$V \left( \nu - \frac{1}{2}, t' \right) = \frac{1}{\Gamma(1-\nu)} \times \left\{ \sin \left( \frac{\pi\nu}{2} \right) Y_1 + \cos \left( \frac{\pi\nu}{2} \right) Y_2 \right\}, \quad (15)$$

$Y_1, Y_2$  выражаются через вырожденные гипергеометрические функции (см. [13]). Общее решение может быть записано в виде

$$y(t') = c_1 U \left( \nu - \frac{1}{2}, t' \right) + c_2 V \left( \nu - \frac{1}{2}, t' \right). \quad (16)$$

Запишем начальные условия для функции  $y(t')$ . Из  $Q(t)|_{t=0} = 1$  следует

$$y(t')|_{t'=n'-1/\tau'} = \exp \left[ (n' - 1/\tau')^2 / 4 \right]. \quad (17)$$

Из  $dQ(t)/dt|_{t=0} = 0$  следует

$$\left. \frac{dy(t')}{dt'} \right|_{t'=n'-1/\tau'} = \frac{1}{2} \left( n' + \frac{1}{\tau'} \right) \times \exp \left[ \frac{1}{4} \left( n' - \frac{1}{\tau'} \right)^2 \right]. \quad (18)$$

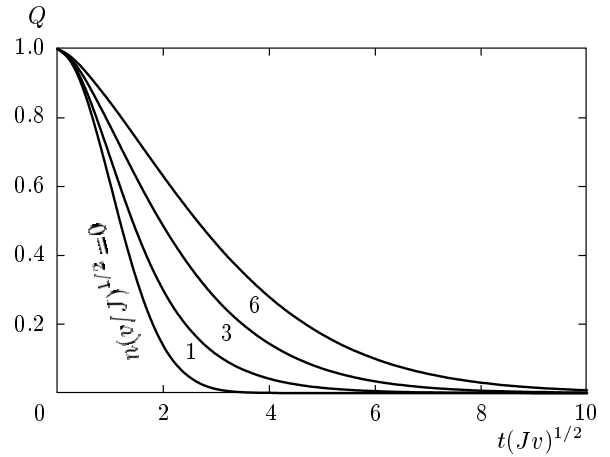


Рис. 1. Характеристика убывания доли исходной фазы  $Q(t)$  для среднего времени задержки  $\tau = 1/(Jv)^{1/2}$  и различной плотности дефектов  $n$ , указанной у кривых

Определим из этих условий константы в (16). С учетом того, что вронскиан  $UV' - VU'$  равен  $(2/\pi)^{1/2}$ , получаем

$$c_1 = \sqrt{\frac{\pi}{2}} \left[ V' - \frac{1}{2} \left( n' + \frac{1}{\tau'} \right) V \right] \times \exp \left[ \frac{1}{4} \left( n' - \frac{1}{\tau'} \right)^2 \right], \quad (19)$$

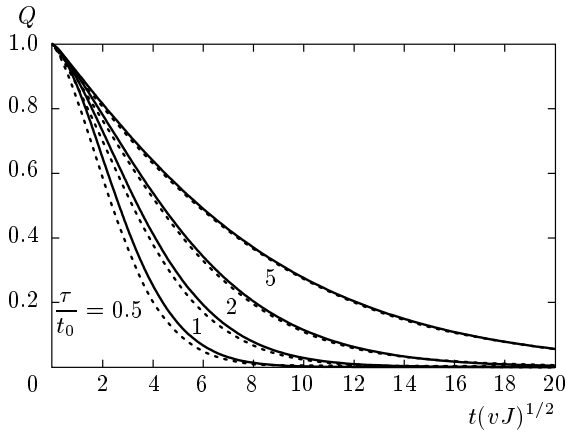
$$c_2 = \sqrt{\frac{\pi}{2}} \left[ \frac{1}{2} \left( n' + \frac{1}{\tau'} \right) U - U' \right] \times \exp \left[ \frac{1}{4} \left( n' - \frac{1}{\tau'} \right)^2 \right]. \quad (20)$$

Аргумент у функций  $U, V$  есть  $n' - 1/\tau'$ .

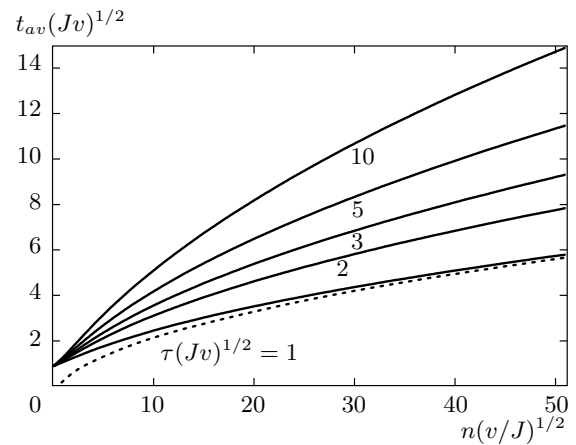
Несложно также решить уравнение (11) численно. Рисунок 1 иллюстрирует поведение рассчитываемой таким образом вероятности  $Q(t)$  для нескольких значений плотности дефектов. Можно видеть, как увеличение плотности дефектов замедляет процесс превращения по сравнению с чистым материалом. Особый интерес представляет кардинальная модификация кинетики превращения при большой плотности дефектов, приводящая к иному типу закономерностей.

#### 4. КИНЕТИКА ПРЕВРАЩЕНИЯ ПРИ БОЛЬШОЙ ПЛОТНОСТИ ДЕФЕКТОВ

Рассмотрим ситуацию, отвечающую большой плотности дефектов, когда среднее расстояние



**Рис. 2.** Характеристика убывания доли исходной фазы  $Q(t)$  при плотности дефектов  $n = 10(J/v)^{1/2}$  для нескольких значений среднего времени задержек  $\tau$  на них. Штриховыми линиями показано поведение соответствующего приближенного решения (21)



**Рис. 3.** Зависимости среднего времени превращения от плотности препятствий  $n$  для различных значений среднего времени задержек  $\tau$  на них. Штриховой линией показано поведение приближенного результата (23)

между ними  $1/n$  мало по сравнению со средней длиной пробега границ доменов до их столкновений и слияний, которая в чистом материале составляет порядка  $(v/J)^{1/2}$ . При большой плотности дефектов естественно ожидать, как это и подтверждается результатами расчета, представленными на рис. 1, что доля исходной фазы будет значительно медленнее убывать со временем по сравнению со случаем отсутствия дефектов. Это позволяет предположить, что вторая производная  $Q(t)$  будет давать малый вклад в уравнение (11). Пренебрегая этим вкладом, получаем приближенное решение в виде

$$Q(t) \approx \exp\left(-\frac{t}{\tau}\right) \left(1 + \frac{J}{n}t\right)^{n/J\tau-1}. \quad (21)$$

Имея явный вид решения, можно проверить справедливость используемого приближения. Вычисляя вторую производную и сравнивая ее с другими слагаемыми в уравнении (11), получаем, что вклад второй производной мал при условии  $nv\tau \gg 1$ , и решение (21) приближенно справедливо во всей области изменения времени. На рис. 2 иллюстрируется кинетика превращения при относительно большой плотности дефектов  $n = 10(J/v)^{1/2}$  для нескольких значений среднего времени преодоления препятствий. Штриховыми линиями показано поведение приближенного решения (21), достаточно хорошо согласующееся с решением полного уравнения (11).

Среднее время превращения вычисляется с помощью приближенного решения (21) как

$$t_{av} = \int_0^\infty dt Q^2(t) \approx \frac{n}{J} \exp\left(\frac{2n}{J\tau}\right) \left(\frac{J\tau}{2n}\right)^{2n/J\tau-1} \times \Gamma\left(\frac{2n}{J\tau} - 1, \frac{2n}{J\tau}\right). \quad (22)$$

Здесь

$$\Gamma(a, x) = \int_x^\infty \exp(-t)t^{a-1} dt$$

— неполная гамма-функция (см., например, [13, (6.5.3)]). При больших значениях параметра  $2n/J\tau$  уравнение (22) сводится к упрощенному выражению

$$t_{av} \approx \frac{\tau}{2} \left(\sqrt{\frac{\pi n}{J\tau}} - \frac{4}{3}\right). \quad (23)$$

В обратном предельном случае малых значений  $2n/J\tau$  получаем для среднего времени перехода

$$t_{av} \approx n/J. \quad (24)$$

На рис. 3 иллюстрируется зависимость среднего времени превращения от плотности препятствий  $n$  для различных значений среднего времени задержек  $\tau$  на них. Штриховой линией показано поведение приближенного результата (23). Отметим, что рис. 3 иллюстрирует также вносимое дефектами изменение числа зародышей  $N$  на единицу длины системы, необходимое для завершения превращения, вследствие соотношения  $N = Jt_{av}$ . Обратная величина  $1/N$  дает среднюю длину пробега фазовых границ

до слияния доменов, которая, таким образом, уменьшается с ростом плотности дефектов.

Большие значения параметра  $n/J\tau \gg 1$  соответствуют ситуации, в которой среднее расстояние между препятствиями много меньше длины пробега фазовых границ и суммарное время задержки «самоусредняется». Следует ожидать, что движение границ при этом может быть охарактеризовано средней скоростью  $v_{av}$ , рассчитываемой как среднее расстояние между препятствиями  $1/n$ , отнесенное ко времени преодоления этого расстояния, складывающемуся из времени свободного движения  $1/nv$  и среднего времени задержки  $\tau$ . Таким образом,  $v_{av} = v/(1 + nv\tau) \approx 1/n\tau$  при большой плотности препятствий. Вероятность  $Q(t)$  должна при этом соответствовать колмогоровскому выражению (1) с перенормированной скоростью движения границы  $v \rightarrow v_{av}$ . С помощью разложения формулы (21) при малых  $t$  нетрудно убедиться, что это действительно имеет место для начальной кинетики в ограниченном интервале времени  $t \ll \tau(n/J\tau)^{2/3}$ . В более широком интервале времени флуктуации пространственного распределения препятствий и статистический разброс длительности задержек полностью модифицируют кинетику процесса.

### 5. КИНЕТИКА ПРЕВРАЩЕНИЯ ПРИ ПРЕДЕЛЬНО СИЛЬНЫХ ПРЕПЯТСТВИЯХ

При больших временах задержек  $\tau \rightarrow \infty$  во внимание следует принимать только зародыши, рождающиеся перед первым препятствием. Вклад от интервала  $l > vt$  есть  $\exp(-nvt - Jvt^2/2)$ , от интервала  $l < vt$  он составляет

$$n \int_0^{vt} dl \exp\left(-nl - Jtl + \frac{Jl^2}{2v}\right). \quad (25)$$

Следовательно, для  $Q(t)$  получаем в этом пределе

$$Q(t) \approx \exp\left(-nvt - \frac{Jvt^2}{2}\right) + n \int_0^{vt} dl \exp\left(-nl - Jtl + \frac{Jl^2}{2v}\right). \quad (26)$$

При больших  $t$  главный вклад в интеграл дают  $l \sim 1/(n + Jt)$  и квадратичным слагаемым в экспоненте можно пренебречь. Получаем  $Q \approx 1/(1 + Jt/n)$ . Вычисление среднего времени перехода с кинетикой превращения, определяемой выражением (26), дает функцию, меняющуюся с ростом

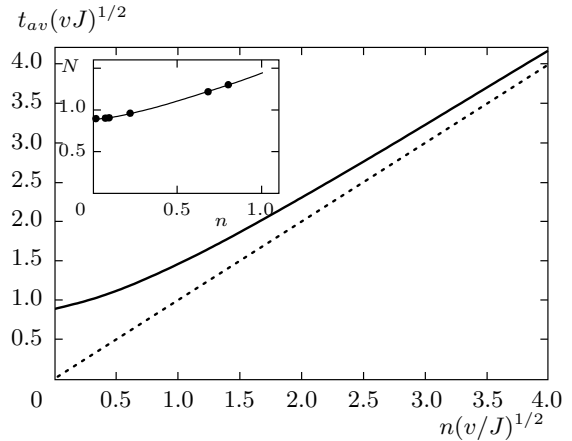


Рис. 4. Среднее время превращения при больших временах задержек на препятствиях в зависимости от их плотности  $n$ . Штриховая линия показывает асимптотику среднего времени превращения при большой плотности препятствий. На вставке изображена зависимость нормированного посредством длины  $l_0 = (v/J)^{1/2}$  среднего числа центров образования зародышей репликации от такого же образом нормированного среднего числа дефектов для ряда типов клеток

$n$  от  $(\pi)^{1/2}/2(Jv)^{1/2}$  до  $\approx n/J$ , согласуясь в пределе больших  $n(v/J)^{1/2}$  с результатом (24). Поведение рассчитанного таким образом среднего времени превращения проиллюстрировано на рис. 4.

Отметим, что средняя длина пробега фазовых границ до завершения превращения  $1/Jt_{av}$  уменьшается с ростом  $n$  от своего значения в чистом материале  $2(v/\pi J)^{1/2}$  до среднего расстояния между дефектами  $1/n$ .

### 6. ЗАКЛЮЧЕНИЕ

В настоящей работе построена теория, описывающая кинетику фазового превращения одномерной системы, содержащей хаотически расположенные дефекты, тормозящие движение фазовых границ. Показано, что влияние дефектов не сводится к перенормировке скорости движения границ, а становятся существенными случайные флуктуации пространственного распределения дефектов и времен задержек на них. Для этой ситуации выведено и проанализировано уравнение, дающее статистическое описание временной зависимости доли превращенного вещества, обобщающее результат теории Колмогорова–Мела–Джонсона путем учета влияния дефектов. Модифицированная теория позволяет рас-

считать обусловленное дефектами замедление кинетики образования новой фазы и изменение длины пробега фазовых границ до завершения превращения в зависимости от плотности дефектов, среднего времени задержек движения границ на них и других параметров задачи.

При достаточно больших временах задержек фазовых границ на дефектах основным качественным следствием влияния дефектов является переход от кинетики превращения, контролируемой на равных основаниях образованием зародышей и движением границ новой фазы, к кинетике, контролируемой по преимуществу образованием зародышей. Этот переход имеет важные следствия, например, для процесса деления клеток. В этом случае фазовыми границами являются точки расхождения двух ветвей молекулы ДНК (forks). Как отмечается в цитируемой выше работе [12], приближение к границе смены механизма репликации молекул ассоциируется с возникновением риска развития рака. Расположение характеризующих клетки параметров на диаграмме типа изображенной на рис. 4 позволяет определить степень такого риска. На вставке к рис. 4, показывающей зависимость среднего числа центров образования зародышей репликации на длине  $l_0 = (v/J)^{1/2}$  от среднего числа дефектов на такой же длине (фактически начальный участок всей изображенной на рис. 4 кривой), для иллюстрации приведено такое расположение для ряда типов клеток по биофизическим данным, цитируемым в работе [12]. Слева направо для клеток: эмбриона лягушки; дрожжей; человеческой соматической клетки; человеческой мутантной клетки (в которой неактивирован механизм контроля повреждений, но в остальном нормальной); специфического участка человеческого генома (так называемого ампликона, имеющего больше эндогенных задержек границ репликации); человеческой клетки с неактивированным механизмом контроля повреждений и выраженной онкогенностью. Этот ряд призван иллюстрировать тот факт, что, хотя

и нормально функционирующие клетки имеют многочисленные повреждения, именно по мере приближения к области, вызываемой дефектами смены механизма кинетики репликации  $nl_0 \sim 1$ , повреждаемость клеток принимает катастрофический характер. Такое указание может быть полезным для принятия мер, противодействующих замедлению кинетики репликации, с целью предотвращения серьезных последствий для организмов.

## ЛИТЕРАТУРА

1. А. Н. Колмогоров, Изв. АН СССР, сер. Мат. **3**, 355 (1937).
2. W. A. Johnson and P. A. Mehl, Trans. AIMME **135**, 416 (1939).
3. В. З. Беленький, *Геометрико-вероятностные модели кристаллизации*, Наука, Москва (1980).
4. S. Jun and J. Bechhoefer, Phys. Rev. E **71**, 011909 (2005).
5. J. A. Kittl and Q. Z. Hang, Thin Solid Films **290-291**, 473 (1996).
6. J. Tominaga, T. Kikukawa, M. Takahashi, T. Kato, and T. Aoi, Jpn. J. Appl. Phys. Part 1 **36**, 3598 (1997).
7. K. Sekimoto, Physica A **135**, 328 (1986).
8. Б. В. Петухов, В. Л. Покровский, ЖЭТФ **63**, 634 (1972).
9. P. Kraikivski, R. Lipowsky, and J. Kierfeld, Eur. Phys. J. E **16**, 319 (2005).
10. J. W. Evans, Rev. Mod. Phys. **65**, 1281 (1993).
11. Б. В. Петухов, ФТТ **41**, 1988 (1999).
12. M. G. Gauthier, J. Herrick, and J. Bechhoefer. Phys. Rev. Lett. **104**, 218104 (2010).
13. М. Абрамовиц, И. Стиган, *Справочник по специальным функциям*, Наука, Москва (1979).